# 小型无人机绳钩回收装置动力学分析

### 刘恒

(四川九洲电器集团有限责任公司 四川 绵阳 621000)

摘要:本文建立了一种适用于小型无人机的绳钩回收装置力学模型。应用多体系统动力学分析软件 MSC.Adams 对模型 进行处理并控模型回收过程动力学分析、计算出回收过程中无人机速度、位移变化规律及回收绳张力变化规律。

关键词: 无人机; 绳钩回收; 动力学分析

## 0引言

无人机的回收是无人机研制中关键技术之一。绳钩回 收是一种新型的无人机回收方式,通过一根竖直布置的回收 绳捕获无人机上的翼尖小钩,实现对无人机的回收。此方式 结构简单,体积小,入场精度要求低且回收范围大,具有广 阔研究前景。

本文建立了一种适用于小型无人机的绳钩回收装置静 动力学模型,进行无人机回收过程中的运动学仿真,得到回 收过程中无人机速度、位移变化规律及回收绳张力变化规, 为小型无人机绳钩回收系统的设计、仿真、优化改进提供理

## 1回收装置力学模型

本文采用的回收装置为折叠机构, 由多级折叠机械臂 组成, 其回收装置框架(见图1)。借助建模软件对回收装 置各零件进行了三维建模(见图2)。

## 2回收过程动力学分析

## 2.1 回收过程概述

图 3 为无人机绳钩回收示意图。支架固定在地面上, 上下摆杆通过球铰与支架主体连接,橡筋绳6、7将上下摆 杆固定。回收绳5从绞绳器8中伸出,绕过上下摆杆末端的 滑轮2回到绞绳器中,绞绳器将回收绳绷紧。无人机撞钩以 后,机翼前缘与回收绳接触,回收绳收紧的趋势使回收绳迅 速滑向机翼末端,滑入翼尖小钩并被锁住。无人机绕回收绳 转动, 其速度逐渐降低, 达到安全回收的目的。

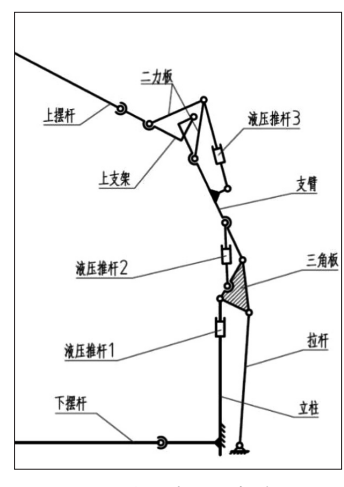


图 1 回收装置框架模型

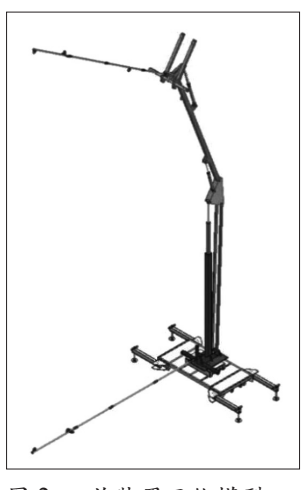


图 2 回收装置三维模型

## 2.2Adams 动力学模型

动力学分析中简化掉不必要的回收支架主体部分,将 无人机简化为一个球体和杆件的组合, 球体表示机舱, 杆件 代表机翼。因为支架固定在大地上, 支架可以视为大地的一 部分,将摆杆通过球铰直接与大地联接即可。在 Adams 中 创建分析对象的几何模型,并添加约束,载荷完成动力学模 型的建立(见图 4)。本文中设置无人机模型质量为 25kg, 机翼长 3m, 其初始速度设置为 120km/h (约 33.3m/s)。

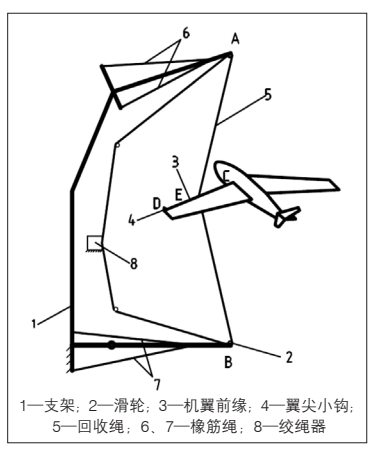


图 4 回收过程动力学模型

图 3 绳钩回收示意图

## 2.3 弹簧参数设置

在 Adams 运动仿真中, 弹簧需要定义的参数有刚度系 数,阻尼系数,预紧力,预紧力下初始长度。

过程开始之前,回收绳和橡筋绳处于预紧力紧绷状态, 各绳拉力作用在摆杆上,摆杆受力平衡,所以,各绳预紧力、 摆杆重力和球铰支座反力对于摆杆是一组平衡力,它们的合 力为零,合力矩也为零。回收绳预紧力和橡筋绳预紧力都为 已知(F<sub>1</sub>=F<sub>2</sub>=500N),沿绳子方向。根据合力矩为零可计 算出各绳预紧力之间关系。

图中 F<sub>1</sub> 为回收绳上段作用在上摆杆末端的拉力, G 为 下摆杆所受重力, $F_{34}$  为上摆杆上方两橡筋绳拉力  $F_{3}$  与  $F_{4}$ 的合力, F<sub>56</sub> 为上摆杆下方两橡筋绳拉力 F<sub>5</sub> 与 F<sub>6</sub> 的合力,  $F_{89}$  为下摆杆下方两橡筋绳拉力  $F_{8}$  与  $F_{9}$  的合力。上摆杆与 竖直方向夹角 57.11°, 回收绳拉力和重力沿竖直方向, 上 下方橡筋绳与摆杆夹角分别为 12.33°和 1.55°。L<sub>1</sub>为上摆 杆总长度, L\_10 为上摆杆吗末端到摆杆上橡筋绳固定点的 距离。由合力矩为零得:

- 109 -

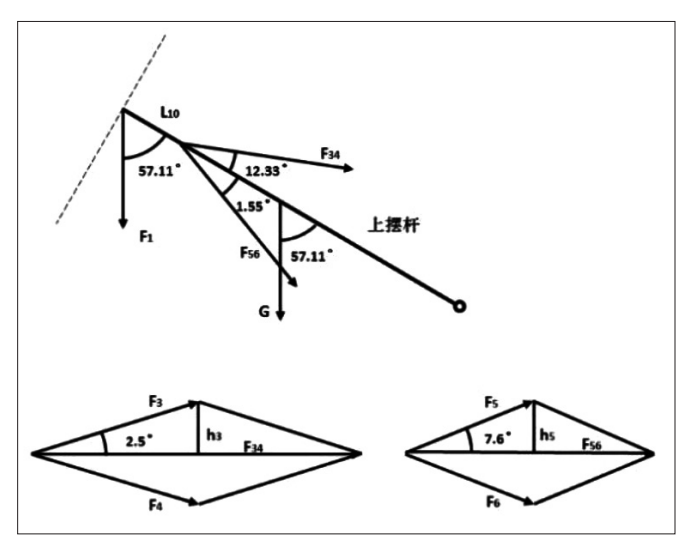


图 5 预紧后上摆杆受力示意图

$$F_1 \times L_1 \times \sin 57.11^{\circ} + F_{56} \times (L_1 - L_{10}) \times \sin 1.55^{\circ} + G_1 \times (L_1/2)$$
  
  $\times \sin 57.11^{\circ} - F_{34} \times (L_1 - L_{10}) \times \sin 12.33^{\circ} = 0$ 

 $F_2$  为回收绳下段作用在下摆杆末端的拉力,G 为下摆杆所受重力, $F_8$ ,为下摆杆下方两橡筋绳拉力  $F_8$  与  $F_9$  的合力, $F_7$  为下摆杆上方橡筋绳拉力。下摆杆平衡位置沿水平方向,回收绳拉力竖直向上,重力竖直向下,上下方橡筋绳与摆杆夹角分别为  $5.07^\circ$  和  $3.65^\circ$  。 $L_2$  为上摆杆总长度, $L_{20}$  为上摆杆末端到摆杆上橡筋绳固定点的距离。

$$F_2 \times L_2 + F_7 \times (L_2 - L_{20}) \times \sin 5.07^{\circ} - G_2 \times (L_2/2) - F_{89}$$
  
  $\times (L_2 - L_{20}) \times \sin 3.65^{\circ} = 0$ 

公式中,上下摆杆总长度  $L_1$ =7689mm, $L_2$ =7717mm。 橡筋绳固定点距离摆杆顶端距离  $L_{10}$ = $L_{20}$ =1600mm。上下摆 杆重力:

$$G_1 = G_2 = 56 \text{kg} \times 9.8 \text{N/kg} = 548.8 \text{N}$$

 $F_1$ ,  $F_2$  为回收绳预紧力。 $F_3$ ,  $F_4$ ,  $F_5$ ,  $F_6$ ,  $F_7$ ,  $F_8$ ,  $F_9$  为各橡筋绳预紧力, $F_{34}$  为  $F_3$  与  $F_4$  的合力, $F_{56}$  为  $F_5$  与  $F_6$  的合力, $F_{89}$  为  $F_8$  与  $F_9$  的合力。且应有:

$$F_3 = F_4$$
,  $F_5 = F_6$ ,  $F_8 = F_9$ 

所以:

 $F_{34}$ =2 $F_3$  cos2.50°  $F_{56}$ =2 $F_5$ cos7.60°  $F_{89}$ =2 $F_8$ cos7.67° 联立上式得:

$$2.6036F_3$$
- $0.3259F_5$ = $5001.66N$   
 $0.7725F_8$ - $0.5407F_7$ = $1740.96N$ 

取  $F_3=F_5=2195.9N$ ,取  $F_7=2000N$ ,则  $F_8=3653.5N$  各弹簧的所有参数(见下表):

在受拉情况下,柔性绳索的特性与弹簧很相似,伸长量与拉力成正比,拉力与伸长量的比值为刚度系数,而受压情况下,弹簧力始终为零,弹簧可以被无限压缩,弹力不会为负。故在仿真软件中 Adams 中需要修改弹簧的刚度系数,使其符合弹性绳索特性,拟合后的刚度系数曲线(见图 8)。

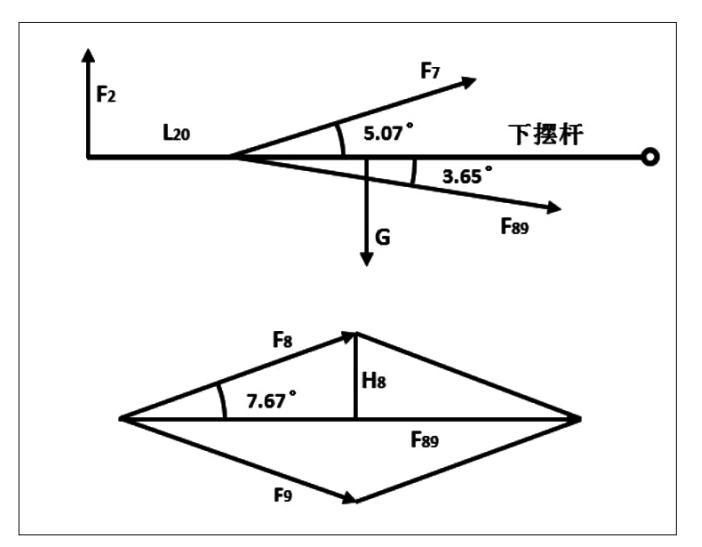


图 6 预紧后下摆杆受力示意图

## 表 弹簧参数

	受拉刚度系数 k(N/m)	阻尼系数 C(N·s/m)	预紧力 F(N)	预紧力下初始 长度 L(m)	直径 D(m)
弹簧 1 (回收绳上段)	7900.5	50	500	8.197	0.01
弹簧 2 (回收绳下段)	13923.9	100	500	8.197	0.01
弹簧 3、4	13396.0	100	2195.9	6.270	0.005
弹簧 5、6	13864.8	100	2195.9	6.058	0.005
弹簧 7	13670.7	100	2000	6.144	0.005
弹簧 8、9	13486.3	100	3653.5	6.228	0.005

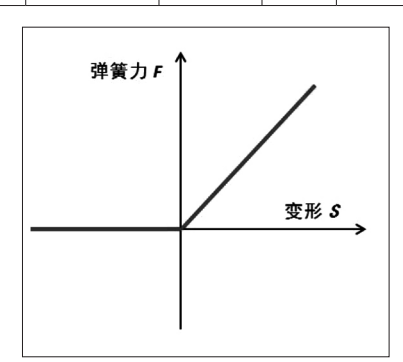


图 7 刚度系数分段函数

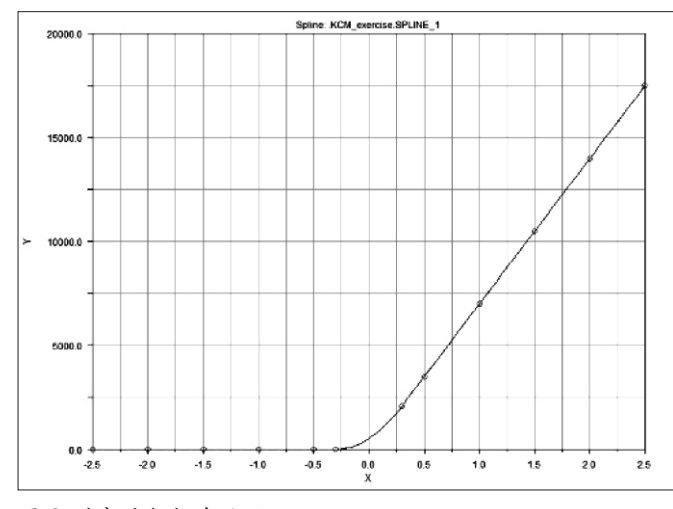


图 8 刚度系数拟合曲线

- 110 -

## 2.4 空气阻力的设置

回收过程中,无人机除受到回收绳拉力和重力的作用外,还要受到空气的阻力,空气阻力方向始终与飞行速度方向相反,空气阻力大小与速度,无人机外形有关。本分析中考虑无风情况下无人机收到的空气阻力。空气阻力的数值和与气流相对速度的动压力成正比。即:

 $C_D$  为空气阻力系数,与无人机外部形状有关,取  $C_D$  值为 0.08。A 为飞机迎风面积,即无人机行驶方向的投影面积,取  $0.8m^2$ 。 $\rho$  为空气密度,一般取  $\rho$  =1.2258Ns $^2$ m<sub>-4</sub>。ur 为相对速度,无风情况下即无人机的飞行速度。

 $FA \approx 0.039 = u_r^2(N)$ 

2.5 动力学仿真结果

## 2.5.1 无人机速度响应

图 9 为回收过程前 20s 无人机的速度变化曲线。从图中可以看出整个过程中无人机速度震荡衰减,并且衰减幅度逐渐减小。15s 以后,无人机速度衰减已很小,速度基本保持稳定,最大速度降到 2.5m/s 以下,可视为回收过程完成。

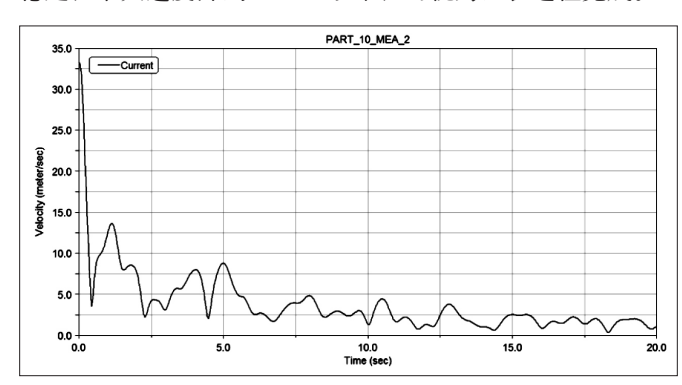


图 9 无人机速度变化曲线

## 2.5.2 回收绳载荷响应

图 10 为回收绳上段载荷变化曲线。数值为负表示受拉,正表示受压。可以看出,上段回收绳初始预紧力 500N,回收过程开始后拉力先急剧增大,0.3s 达到峰值,峰值拉力 2524.9N。之后震荡衰减,并且衰减幅逐渐减小,最终稳定震荡在 1000N 附近。

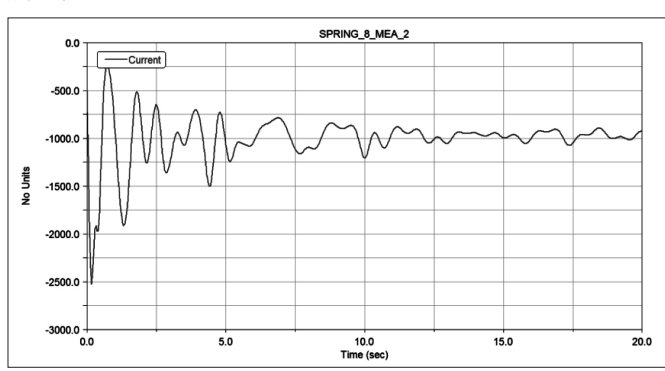


图 10 回收绳上段拉力变化曲线

图 11 为回收绳下段载荷变化曲线。可以看出,下段回 收绳初始预紧力 500N,下段回收绳拉力变化规律与上段非

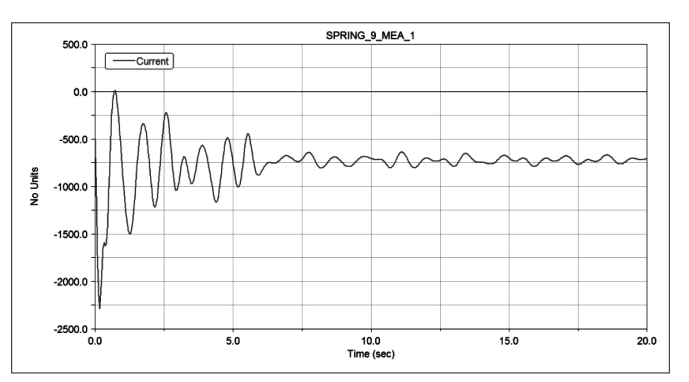


图 11 回收绳下段拉力变化曲线

常相似,峰值拉力 2289.1N。由于上段回收绳要承受无人机重力的作用,下端回收绳震荡稳定后的拉力小于上段,大约在 750N 附近。

## 2.5.3 回收距离

回收距离是指整个回收过程中,无人机在初始速度方向上的最大位移。图 12 为无人机位移在初始速度方向上的分量的变化规律。无人机初始位置可以看出位移值在零附近波动,波动最大范围为 -3.05m 到 +8.62m 并且波动幅度逐渐减小。回收距离为 8.62m。

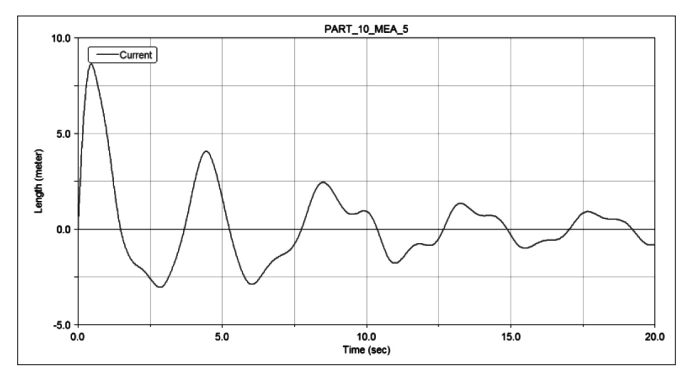


图 12 无人机回收距离

## 3 结语

本文建立了小型无人机绳钩回收装置有限元模型,通过 MSC.Adams 对回收过程进行动力学分析。回收绳和橡筋绳用弹簧来模拟,并通过定义刚度系数函数来使弹簧特性与绳索吻合,得到回收过程中,无人机速度和回收绳拉力变化规律。分析结果显示,回收过程中无人机速度周期性震荡并逐渐衰减,15s 内无人机速度已降到 2.5m/s 以下,回收距离 8.62m,基本满足回收要求。为小型无人机绳钩回收系统的设计、仿真、优化改进提供理论参考。

## 参考文献

[1] 裴锦华,何成,王陶,等.小型固定翼无人机绳钩回收过程动力学分析[J]. 南京航空航天大学学报,2017,49(005):693-698.

[2] 卢伟, 马晓平, 周明, 等. 无人机绳钩回收系统的动力学特性仿真分析[J]. 航空学报, 2015, 36(010):3295-3304.

- 111 -